

Intro: dans le leçon précédent on a étudié l'interf. 2. ondes et en particulier dispositif de fentes de Young

On a vu l'existence des franges d'interf. visibles dans tout le champ d'interférence (ou bouge l'écran et on le voit)

→ Trous d'Young → INTERFÉRENCES DÉLOCALISÉES

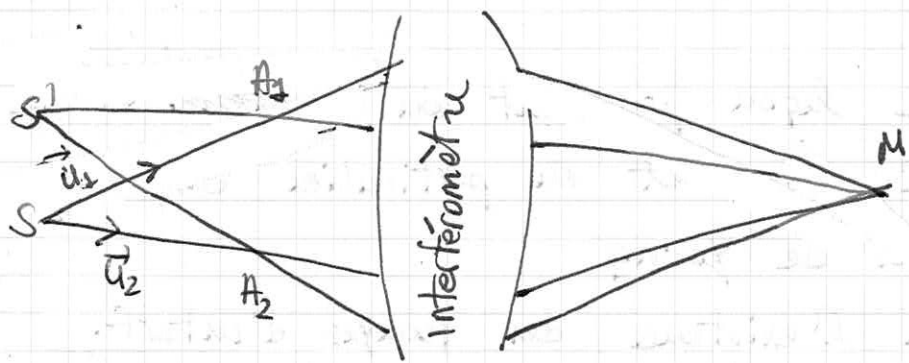
Brouillage: Pour source trop étendue des nombreux points de la source donnent lieu à une figure d'interférence en ~~etat~~ ~~en~~ anticoïncidence

⇒ CONTRASTE ≈ 0 pour $l_s > \frac{\lambda L}{a}$
(toujours cohérence spatiale)

Théorème de localisation

Pour surmonter ce problème, nous demandons s'il existe, pour certains dispositifs, quelques point ~~privilegié~~ privilégié de l'espace où $f(s, \mu)$ dépend très peu du point s de la source (pour avoir ~~une~~ des fig d'interférence en coïncidence pour tous les points source)

M : pas de brouillage



S, S'

Deux points arbitraires de la source

Pour éviter le brouillage ou veut des différences de marche proches :

$$\Delta \delta = \delta(S', M) - \delta(S, M) = 0 \quad [2\pi]$$

$$\delta(S', M) = (S' A_2) + (A_2 M) - (S' A_1) - (A_1 M)$$

$$\delta(S, M) = (S A_2) + (A_2 M) - (S A_1) - (A_1 M)$$

Stigmatisme parfait $(A_i M) = (A'_i M')$

On considère qu'on est dans l'aire avec $n \approx 1$

$$\Delta \delta = [S' A_2 - S A_2] - [S' A_1 - S A_1]$$

$$\approx - \vec{S} \vec{S}' \cdot \vec{u}_2 + \vec{S} \vec{S}' \cdot \vec{u}_1 = \vec{S}' \vec{S} \cdot (\vec{u}_2 - \vec{u}_1)$$

Pour respecter $\Delta \delta = 0$:

$$\rightarrow \vec{S} \vec{S}' = \vec{0} \quad (\text{source ponctuelle})$$

$$\rightarrow \vec{S}' \vec{S} \perp (\vec{u}_2 - \vec{u}_1) : \text{élongissement } \perp \text{ aux rayons}$$

qui interfèrent (source horizontale
Tous Young)
PAS PÉTITIQUE

$$\rightarrow \vec{u}_1 = \vec{u}_2 \Rightarrow \text{même rayon incident} \Rightarrow \text{Système division d'amplitude}$$

Dans le suite on va étudier deux dispositives à division d'amplitude : l'interféromètre Michelson (~~que~~ qu'on utilisera aussi pour étudier l'écart entre deux frises jaunes d'une lampe au sodium).
et l'interféromètre de Fabri-Pérot.

MICHELSON :

- inventé par Albert Michelson pour détecter de très faibles variations de vitesse de la lumière, du ~~de~~ au mouvement relatif de la Terre par rapport à l'étoile
- Utilisé par la détection des ondes gravitationnelles (VIRGO, LIGO aux EEUU)

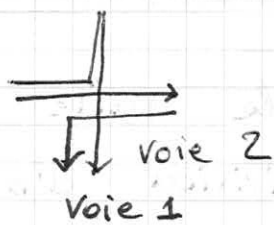
Michelson géantes de 8km.

Le passage d'une onde produit de variations anisotropes de deux bras de l'interféromètre
⇒ ~~pas~~ interference.

a) CONSTITUTION INTERFÉROMÈTRE

- M_1 (mobile), M_2 (fixe)
- séparatrice (traitée pour être semi-reflectante) } inclinaison
comparatrice (pas traitée) } $\pi/4$
- Expliquer fonctionnement vis.
(6) / (7) ⇒ Il entre comparatrice et séparatrice

b) Principe de l'interféromètre :

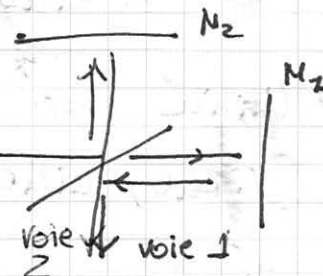


c) Role du dispositif séparateur :

- Chaque rayon traverse 4 fois l'épaisseur d'une lame \Rightarrow rendre les deux voies équivalentes
- Indispensable en lumière polychromatique car ~~elle~~ compensation et séparation sont des milieux dispersifs

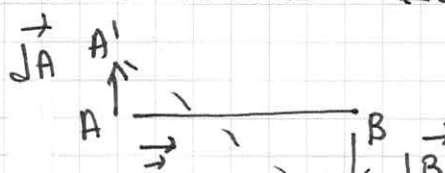
d) Flux dans l'interféromètre

- On considère un seul lobe source semi-réfléchissante d'épaisseur nul



- $E_s = T R E_i = (1-R) R E_i$ $R=0.5 \Rightarrow E_s \text{ max}$
 sortant pour les deux

Détails calculs : $\Delta\delta$



$$\vec{AB}' = \vec{AB}$$

$$-\vec{dA} + \vec{dB}$$

$$+\vec{dA}$$

Autrement

$$\vec{S}'\vec{A}_1 + \vec{S}\vec{S}' = \vec{SA}_1$$

$$\|\vec{S}'\vec{A}_1\| = \sqrt{\vec{SA}_1^2 + \vec{SS}'^2 + 2\vec{S}'\vec{S} \cdot \vec{SA}_1}$$

si $\vec{S}'\vec{S} \ll \vec{SA}_1$

$$\Delta(\vec{AB}) = -\vec{dA} + \vec{dB} = d(AB) \cdot \vec{u} + \vec{AB} \cdot \vec{du} = \|\vec{S}'\vec{A}_1\| \approx \|\vec{SA}_1\| \times$$

$$\Rightarrow d(AB) = (\vec{dB} - \vec{dA}) \cdot \vec{u}$$

$$\left(1 + \frac{\vec{S}'\vec{S} \cdot \vec{SA}_1}{\|\vec{SA}_1\|^2} \right)$$

On va étudier le fonctionnement d'un michelson
~~enclos~~ écloire avec une source étendue:

- 1) Mirroirs \perp entre eux
- 2) Même distance entre M_1 et sep. et M_2 et ~~separat.~~
- ~~et~~ mais incliné ou

$$(SM)_{voie 1} = (SI_1) + \frac{\lambda_0}{2} + (I_1 J) + (JM)$$

$$(SM)_{voie 2} = (SK) + (KI_2) + \frac{\lambda_0}{2} + (I_2 M)$$

MICHELSON UNE D'AIR: (tout se passe comme s'il y
avait une lame d'air entre

Rays sortants //
interv à ∞ (*)

Pour raison de symétrie ~~et~~

$$SI_1 = S'I_1' = S_1 I_1'$$

$$I_1 J = I_1' J$$

Il faut calculer ~~(I_1' M)~~ $(I_1' M) - (I_2 M)$

On peut montrer que ça est équivalente à

$$\delta(\mu) = (S_1 M) - (S_2 M) = S_1 H = \boxed{2e \cos i}$$

DIFFÉRENCE
MARCHÉ

(*) pour l'observation lenticule convergente
éclate dans le plan image de la lentille

② ~~FRAYEZ PLATEZ D'INTÉRÉT~~ \Rightarrow Déphasage $\Delta\phi$

$$\Delta\phi = \frac{2\pi\delta(\mu)}{\lambda}$$

Symétrie révolution autour de $S_1 S_2 \Rightarrow$ Fig. interf

ANNEAUX
(d'égale inclinaison)

$$\text{Ordre d'interférence} = p \in M = \frac{\delta(\mu)}{\lambda_0}$$

→ fonction décroissante de i

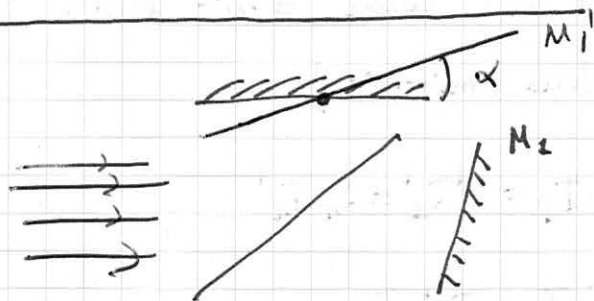
$$\rightarrow p(i=0) = p_0 + \varepsilon \quad 0 < \varepsilon < 1$$

$$\rightarrow p_0 = \frac{2ne}{\lambda} \cos i \underset{i \approx 0}{\approx} \frac{2ne}{\lambda_0} \left(1 - \frac{i^2}{2} \right) = \frac{2ne}{\lambda_0} \left(1 - \frac{n^2 R^2}{f^2} \right)$$

gauss ~~tan~~ $\tan i = \frac{R}{f} \approx i$

Ou va au contact optique $e=0$ (teinte plate) et on rachine

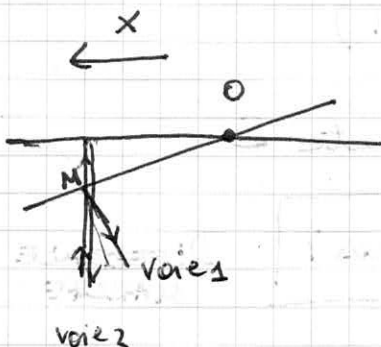
MICHELSON ~~COIN~~ D'AIR



on observe que les interférences sont localisées aux voies de miroirs

Éclairement incidence normale

→ on veut la figure d'interférence



différence de marche

$$\delta(M) = 2e(M) = 2 \times \alpha \frac{n}{\lambda}$$

$$\text{car } \tan \alpha = \frac{e}{x} \approx \frac{\alpha}{x}$$

⇒ Figure d'interférence ⇒ Frange rectiligne
(d'égale épaisseur)

Interfrange ou Frange d'ordre p : $\delta = p \lambda$

$$x_p = \frac{p \lambda}{2n \alpha} \Rightarrow i = x_{p+1} - x_p = \frac{\lambda}{2n \alpha}$$

Doublet sodium :

$$\lambda_1 = 589,00 \text{ nm} \quad , \quad \lambda_2 = 589,597 \text{ nm}$$

$$\lambda_1 = \lambda_m - \Delta\lambda$$

$$\lambda_2 = \lambda_m + \Delta\lambda$$

$$I(\delta) = 2I_0 \left(1 + \cos \left(\frac{2\pi\delta}{\lambda_2} \right) \right) + 2I_0 \left(1 + \cos \left(\frac{2\pi\delta}{\lambda_1} \right) \right)$$

~~zéro deux~~

$$\text{On utilise : } \cos a + \cos b = 2 \cos \frac{a+b}{2} \cos \frac{a-b}{2}$$

$$\frac{1}{\lambda_1} + \frac{1}{\lambda_2} \approx \frac{2}{\lambda_m} \quad , \quad \frac{1}{\lambda_1} - \frac{1}{\lambda_2} \approx \frac{2 \Delta\lambda}{\lambda_m^2}$$

$$= 4I_0 \underbrace{\left(1 + \cos \left(\frac{2\pi \Delta\lambda \delta}{\lambda_m^2} \right) \right)}_{\text{FACTEUR de CONTRASTE}} \cos \left(\frac{2\pi \delta}{\lambda_m} \right)$$

FACTEUR de CONTRASTE

On chariole et on change la valeur de δ (variation)

Pour certains valeurs de δ on a anticoincidance:

$$\cancel{\delta = \frac{m_1 + \frac{1}{2}}{2} \lambda_1} \quad \delta = (m_1 + \frac{1}{2}) \lambda_1 = m_2 \lambda_2$$

$$\Rightarrow \left(\frac{1}{\lambda_1} - \frac{1}{\lambda_2} \right) \delta = (m_1 - m_2) + \frac{1}{2} \Rightarrow$$

$$\Rightarrow \delta \approx \left(k + \frac{1}{2} \right) \frac{\lambda_m^2}{\Delta\lambda}$$

MESURES :

On chariole et on change le douc δ

On part d'un brouillage et on mesure la position sur le vernier $\Rightarrow P_1$

On compte un certain nombre n de brouillage et on remesure la position P_2

$$\frac{P_2 - P_1}{n} = \frac{\lambda_m^2}{4\Delta\lambda} \quad P_2 = 19,375$$

$$P_1 = 17,910$$

$$\Rightarrow \Delta e = \frac{P_2 - P_1}{5} = 0,293 \text{ mm}$$

$$\Delta p_1 = \Delta p_2 = 0,005$$

~~Erreur~~ $\Delta e \approx \frac{1}{5} \sqrt{2} \cdot 0,005 \approx 0,002$

$$\Delta\lambda = \frac{\lambda_m^2}{2\Delta e} \approx 5,94 \text{ \AA}^\circ \quad (10^{-10} \text{ m})$$

$$\Delta(\Delta\lambda) = \frac{\lambda_m^2 \Delta(\Delta e)}{2(\Delta e)^2} \approx 0,05 \text{ \AA}^\circ \quad (\text{Propagation des erreurs})$$

$$\Delta\lambda + \Delta(\Delta\lambda) = (5,94 \pm 0,05) \text{ \AA}^\circ$$

Valeur tabule 5,97 \AA°

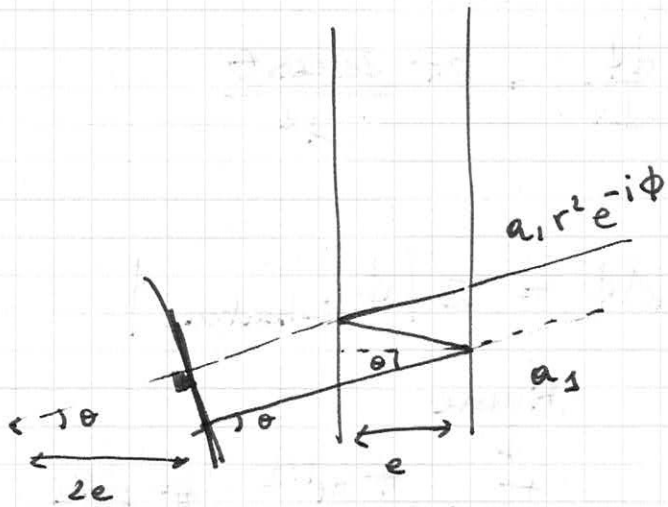
Nombre de maxime d'échirement entre

deux brouillages $\frac{\lambda_m}{\Delta\lambda} = N \approx 1000 = \frac{589,30}{0,59}$

sodium

Impossible à voir avec les trous car on n'a pas autant de pics à cause de la diffraction

FABRI-PEROT



r, t coeff reflex, transm.
 $\in \mathbb{R}$

$$|r|^2 + |t|^2 = 1$$

Difference de phase entre 2 onde sortantes successive

$$\Delta\phi = 2e \cos \theta$$

~~$$a_1 = a_0 t^2$$~~

- Amplitude de la superposition de N ondes (série géométrique de raison $r^2 e^{-i\phi}$)

$$a = a_1 \frac{1 - r^{2N} e^{-iN\phi}}{1 - r^2 e^{-i\phi}}$$

$$\begin{aligned} \cos \phi &= \cos^2 \phi / 2 - \sin^2 \phi / 2 \\ &= 1 - 2 \sin^2 \phi / 2 \end{aligned}$$

- Intensité en fonction du déphasage :

$$I = \left| \frac{a_1}{1 - r^2 \cos \phi + i r^2 \sin \phi} \right|^2 = \frac{|a_1|^2}{1 + r^4 - 2 r^2 \cos \phi} \rightarrow$$

$$= \frac{I_{\max}}{1 + m \sin^2 \phi / 2}$$

$$\left| \phi_{\text{mi-hauteur}} \right| \sim \sqrt{\frac{2}{m}}$$

$$\left| \sin \frac{\phi}{2} \right| = 1 / \sqrt{m} \sim \frac{\phi}{2}$$

$$\begin{aligned} I_{\max} &= \frac{|a_1|^2}{(1 - r^2)^2} = |a_0|^2 \\ m &= \frac{4r^2}{(1 - r^2)^2} \end{aligned}$$

↓
incidente

\uparrow
 r petit
 m grande

Pouvoir de résolution

$$\Delta\lambda = \left| \frac{d\lambda}{d\phi} \right| \Delta\phi_{\text{min}}$$

$$\left| \frac{d\phi}{dx} \right| = 2\pi \frac{2e \cos\theta}{\lambda^2}$$

$$\Delta\phi = 2 |\phi_{\text{mi-hauteur}}|$$

finesse

$$F = \frac{\pi m^{1/2}}{1-R} = \frac{\pi R^{1/2}}{1-R}$$

$$\Delta\lambda = \frac{4}{\sqrt{m}} \cdot \frac{\lambda^2}{2\pi 2e \cos\theta}$$

Pouvoir résolution $\frac{\lambda}{\Delta\lambda} = \frac{\pi m^{1/2} e \cos\theta}{\lambda}$

- Haute pour résolution \Rightarrow utilisation en spectrométrie
- Pics fins \Rightarrow grandes finesse
 \downarrow
 Spectrométrie.
- Cavité laser : cavité résonante qui permet de sélectionner certains fréquences d'émission du laser.